

# Mehanizem korozjske odpornosti nerjavne jeklene litine s povečano vsebnostjo Si

## The Mechanism of Corrosion Resistance of Si-bearing Cast Stainless Steel

B. Godec<sup>1</sup>, IMK Ljubljana

L. Vehovar, Inštitut za kovinske materiale in tehnologije, Ljubljana

Prejem rokopisa - received: 1995-10-04; sprejem za objavo - accepted for publication: 1996-01-22

Z elektrokemičnimi korozjskimi raziskavami pri različnih koncentracijah  $HNO_3$  in z dodatki  $NaCl$  ter  $Cr^{6+}$  ionov, kakor tudi z dolgotrajno izpostavo v močno oksidacijskem mediju, smo ugotovili, da dodatki silicija do 4% izboljšajo korozjske lastnosti v zelo močnih oksidacijskih medijih. Z različnimi metodami za površinsko analizo kovin smo prišli do spoznanja, da dobra korozjska odpornost litine FeCr26Ni30Si4 temelji na nastajanju tanke zaščitne barere, ki je pretežno sestavljena iz silicija.

Ključne besede: silicijeve jeklene litine, korozija, silicij, prepričnost, dušikova kislina

The electrochemical corrosion tests in different concentration of  $HNO_3$  with addition of  $NaCl$  and  $Cr^{6+}$  ions, and long term tests in high oxidizing media were performed to determine the influence of silicon on corrosion resistance of cast stainless steels. Si-content up to 4% has a beneficial effect on corrosion characteristics in high oxidizing media. The use of different surface analytical methods made it clear that corrosion resistance of the cast FeCr26Ni30Si4 is based on formation of the thin protective barrier which is mainly constituted of silicon.

Key words: Si-bearing cast steel, corrosion, silicon, overpotential, nitric acid

### 1 Uvod

Mnogim jeklom in litinam dodajamo silicij z namenom doseganja boljših korozjskih lastnosti, predvsem pri povišanih temperaturah<sup>1,2,3,4</sup>. Prav tako je silicij pomemben element za izboljšanje korozjske odpornosti železnih litin. Vsebnost silicija med 3 in 14% izboljša njihove korozjske lastnosti, toda šele nad 14% Si se korozjska odpornost izrazito poveča<sup>1</sup>.

Navadna nerjavna jekla, izpostavljena dušikovi kislini, ki vsebuje visoko oksidne ione, kot so  $Cr^{6+}$ , utripijo precejšno interkristalno korozijo, ker se v teh razmerah nahaja njihov potencial v transpasivnem področju<sup>5</sup>.

V preiskave smo vključili jeklene nerjavne litine večinoma avstenitnega tipa z različno vsebnostjo silicija, od 0 do 10%, ki smo jih izdelali v vakuumski indukcijski peči na IMT. Za določitev korozjskih lastnosti litin smo uporabili različne elektrokemične korozjske preiskave v 10, 30, 60%  $HNO_3$  z dodatki 0,5M  $NaCl$  in v 65%  $HNO_3$  z dodatki 5 g/l  $Cr^{6+}$  ionov. Nadalje smo vzorce litin podvrgli dolgotrajnim izpostavam močno oksidacijskih medijev, kot je vredna 55%  $HNO_3$ , kjer smo na osnovi izgube mase in oblik korozjskih poškodb določili korozjsko obstojnost posameznih litin. Preiskave so pokazale, da dodatki silicija do 4% izboljšajo korozjske lastnosti, vendar šele pri zelo močno oksidacijskih medijih, dočim je vpliv silicija pri šibkejših oksidacijskih medijih neznaten<sup>6</sup>.

Proces korozije začne in propagira na zelo tanki površinski plasti, zato so zelo pomembne metode, ki

omogočajo pri preučevanju korozije študij tankih površinskih plasti. V zadnjih letih je močno narastlo število tehnik, ki so primerne za analizo površin kovin. Najpomembnejša in morda najbolj razširjena je rentgenska fotoelektronska spektroskopija (XPS) in spektroskopija Augerjevih elektronov (AES)<sup>7</sup>. XPS ima celo to prednost, da je sposobna zaznavanja atomov v različnih oksidacijskih stanjih. Avtorji navajajo tudi možnost uporabe tunelske mikroskopije (TM) in mikroskopije na atomsko silo (AFM) pri spremeljanju korozjskih procesov<sup>8,9</sup>. Te tehnike so sposobne odgrniti površinsko strukturo do atomske ločljivosti in so popolnoma neškodljive za površino. Nedvomno imajo v prihodnosti veliko možnosti pri analizi pasivnih tankih plasti.

### 2 Eksperimentalni del

Da bi dognali delovanje silicija na elektrodnih površinah, smo uporabili različne analizne metode raziskave površin. Za ta namen smo izmed večih izbrali dve litini, in sicer L14-FeCr26Ni30Si4, legirano s 4% Si, ki je imela izmed vseh najboljšo korozjsko odpornost v močno oksidacijskih medijih, in za primerjavo litino L1-FeCr26Ni30. Kemična sestava litin je navedena v tabeli 1.

Vzorca litin L14 in L1, ki sta bila narejena v obliki ploščic 50x25x2 mm, pobrušena na papirju gradacije 320, smo izpostavili 240 ur vredni (115°C) 55%  $HNO_3$ . Po končanem preizkušu smo ju odstranili iz elektrolita, sprali z destilirano vodo, očistili z alkoholom in posušili na zraku. Površine tako pripravljenih vzorcev smo analizirali z XPS, AES in AFM. V tako močnih oksidacijskih medijih se materiali hitro pasivirajo, vendar prihaja tudi

<sup>1</sup> Mag. Boštjan GODEC, dipl.inž.met.  
Inštitut za metalne konstrukcije  
1117 Ljubljana, Mencingerjeva 7

**Tabela 1:** Kemična sestava litin

Litina	Kemična sestava (%)							
	%C	%Si	%Mn	%S	%Cr	%Ni	%Mo	%N
L1 FeCr26Ni30	0,035	0,13	0,50	0,008	24,7	27,3	-	0,064
L14 FeCr26Ni30Si4	0,015	4,16	0,32	0,006	26,7	29,4	-	0,073

do prepasivacije. Naravo pasivne plasti ali zaščitne plasti določajo korozjske reakcije na elektrodnih površinah v odprttem koroziskem tokokrogu. V površinsko plast se vgrajujejo tisti elementi, ki reagirajo na vmesni površini kovina-elektrolit.

### 2.1 Rentgenska fotoelektronska spektroskopija (XPS)

XPS analize so bile narejene z napravo VSW (Vacuum Science Workshop), kjer je izvir Mg K $\alpha$  (1253,6 eV), nekromatizirana z uporabo hemisferičnega analizatorja HA 100. Vse meritve so bile opravljene pri tlaku  $2 \cdot 10^{-7}$  Pa, tlak pri bombardiranju z Ar $^+$  je bil  $1\text{--}2 \cdot 10^{-4}$  Pa. Doziranje argona je bilo izvedeno z ionsko puško. Tok Ar $^+$  na vzorcu je bil 1  $\mu\text{A}$  pri 300 V in 5  $\mu\text{A}$  pri 1 kV. Kot vzorca glede na curek Ar $^+$  snop je približno 30°.

Posneti so bili spektri XPS: Fe $_{2p3/2}$ , Cr $_{2p3/2}$ , Ni $_{2p}$ , O $_{1s}$ , C $_{1s}$  in Si $_{2p}$ , pri treh različnih obdelavah površine.

Spektre XPS smo najprej posneti na neočiščeni ("as received") površini. Ti spektri so označeni z (a). Spektri označeni z (b) so bili posneti po 2 h ionskega jedkanja pri 300 V. Pri tem smo odstranili ves ogljik, razen vezanega, in smo tako dobili pravo stanje površine, ki ni bilo spremenjeno zaradi ionskega jedkanja. Spektri, označeni s (c), so bili posneti po nadaljnjem odstranjevanju površine s curkom ionov argona pri 1 kV in 30 min.

Ker sta bila vzorca litin L1 in L14 po končanem koroziskem preizkusu vzeta iz elektrolita in prenesena v komoro, sta se kontaminirala s plastjo adsorbiranega ogljika iz atmosfere. Ta kontaminacija se na spektru C $_{1s}$  na neočiščenem vzorcu (a), pokaže kot širok vrh z vezno energijo 286,1 eV. Po ionskem jedkanju pri pogojih (b) se je vrh pri L1 prepolovil. Na spektru (c) signal pri 286,1 eV skoraj v celoti izgine in se pojavi šibak vrh pri energiji 285,0 eV, kar predstavlja področje, ki označuje karbidni tip vezi. Za razliko od vzorca L1 pa pri vzorcu L14 že po ionskem jedkanju pri pogojih (b) ves adsorbi rani ogljik popolnoma odstranimo, kar nam daje slutiti, da je površina vzorca L14 bolj gladka in kompaktnejša (slika 1).

S spektrom Cr $_{2p3/2}$  smo ugotovili, da se je že na neočiščenem vzorcu litine L1 pojavit vrh z vezno energijo 576,8 eV, kar je značilno za Cr $^{3+}$ , ki je na spektru, označenem z (b), močneje izražen. Vrh z vezno energijo 574,1 eV se je pojavit šele na spektru (c), ki predstavlja Cr $^\circ$ . Če to primerjamo s spektrom O $_{1s}$ , ugotovimo, da se intenziteta signala za kisik po prvem odstranjevanju površine (b) nekoliko poveča. Vrh se šele z nadaljnjiem odstranjevanjem površine (c) premakne k nižjim veznim energijam.

Spekter Cr $_{2p3/2}$  pri litini L14 na neočiščeni površini (a), kaže na prisotnost Cr $^{3+}$  (576,8 eV). Že po prvem ionskem jedkanju - spekter (b) - se pojavit dva vrhova podobnih intenzitet z veznima energijama 576,8 eV in 574,2 eV, kar potrjuje prisotnost Cr $^{3+}$  in Cr $^\circ$ , ki sta približno v enakem razmerju. Z nadaljnjiem odstranjevanjem površine (c) Cr $^{3+}$  popolnoma izgine, ostane le vrh kovinskega kroma Cr $^\circ$ . Kroma v obliki Cr $^{6+}$  nikjer ne zasledimo. Če to primerjamo s spektrom O $_{1s}$ , kjer je vrh precej širok, z vezno energijo 531,2 eV in s celotno širino pri polovičnem maksimumu (FWHM = 3,0 eV), kar govori o tem, da se kisik nahaja v različnih stanjih, kot O $^{2-}$ , OH $^-$ , O(H<sub>2</sub>O), ugotovimo, da je od (a)→(b) izguba na strani OH $^-$  in O(H<sub>2</sub>O), saj se je vrednost vrha premaknila k nižjim energijam. Relativno se je zmanjšal kisik, vezan na hidroksid in vodo, in povečal kisik, vezan kot oksid. Intenziteta signala za kisik močno pada pri (c), kar daje slutiti, da je plast tanka in kompaktna. Ugotavljamo, da je pri vzorcu L14 v primerjavi z L1 prej prišlo do premika k nižjim energijam. Odgovor bi lahko bil v dejstvu, da je pri vzorcu L1 kisik, vezan na OH $^-$  in O(H<sub>2</sub>O), prisoten do večjih globin.

Iz spektrov za Ni $_{2p}$  in Fe $_{2p3/2}$  pri obeh litinah ugotavljamo, da nikelj in železo na sami površini nista prisotna. Pri litini L1 se nahaja tik pod površino v obliki Ni $^\circ$ , prav tako velja za železo. Podobno je pri litini L14, s tem da se signala za nikelj in železo pojavita prej.

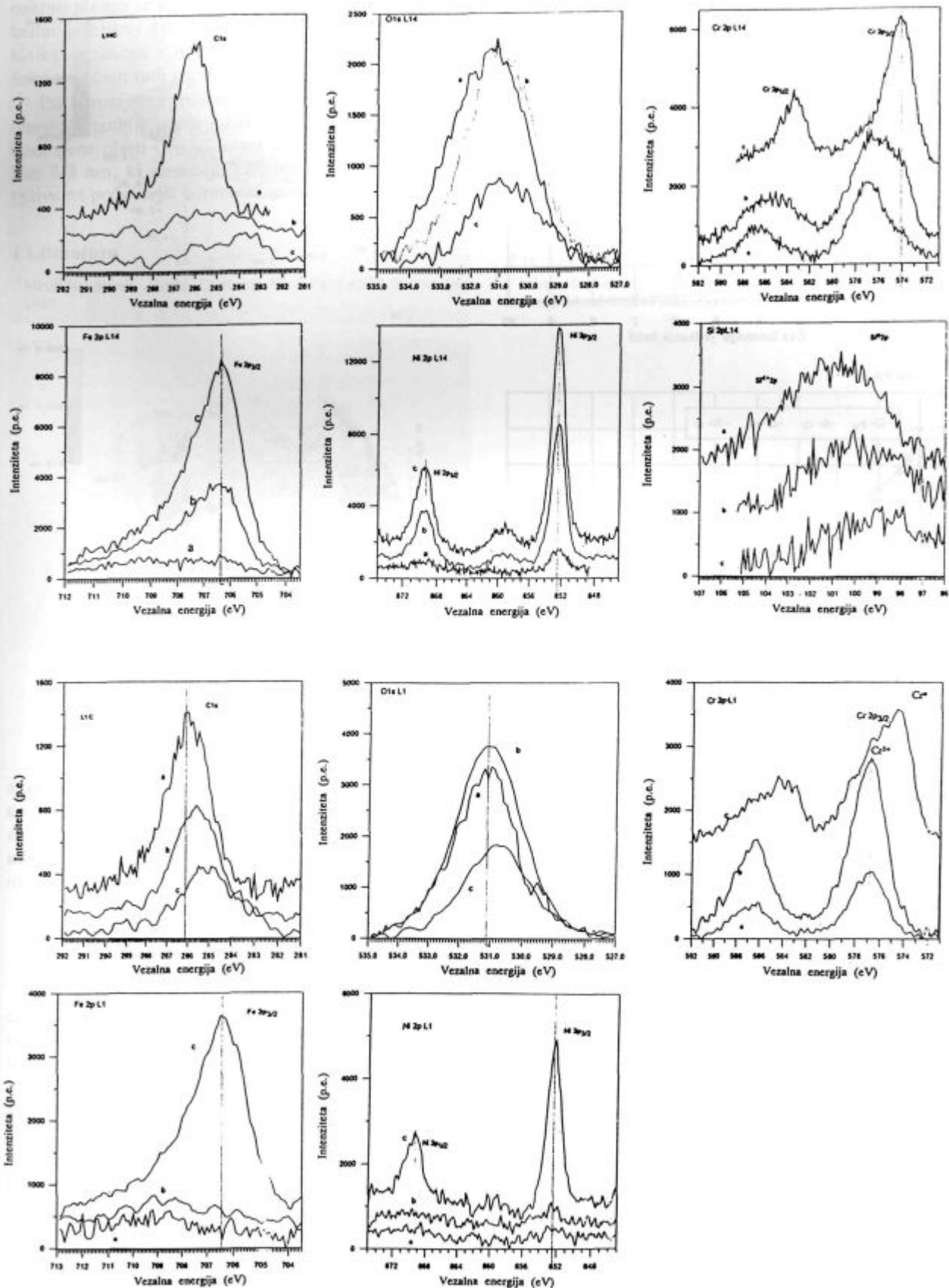
Pri litini L14, ki je bila legirana s silicijem, smo posneli spekter Si $_{2p}$ , ki pa ima zelo močan šum in širok, slab signal in neizrazito izražen vrh med 99,0 eV (Si $^{4+}$  - SiO<sub>2</sub>) in 103,5 eV (Si $^\circ$  - elementarni silicij). Za razliko od drugih signalov njegova vrednost z odstranjevanjem površine pada, kar govori v prid temu, da je silicija največ na površini.

### 2.2 Spektroskopija Augerjevih elektronov (AES)

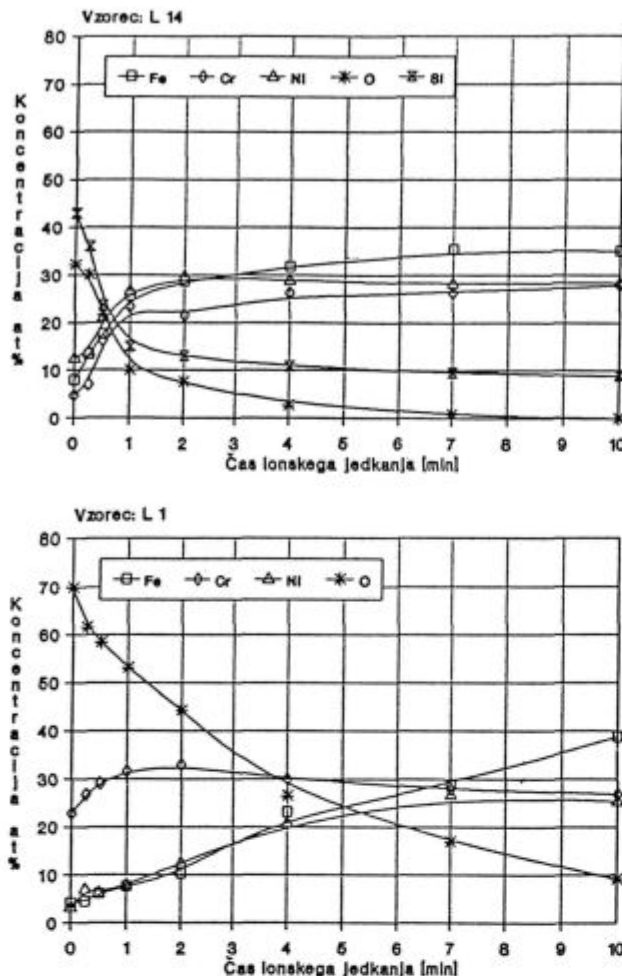
Enako pripravljene vzorce smo preiskali z AES. Za analizo površine in preiskave tankih plasti je spektroskopija Augerjevih elektronov zelo razširjena in uporabna metoda. Temelji na meritvah energij emitiranih Augerjevih elektronov, ki nastanejo pri obstreljevanju vzorca z elektroni.

Preiskave so bile narejene na napravi Physical Electronics Industries - SAM 545 A v osnovnem vakuumu  $1,7 \cdot 10^{-7}$  Pa, z uporabo statičnega primarnega elektronskega curka energije 5 keV, tokom 0,5 mA in premerom približno 10 mm.

Med analizo AES in ionskim jedkanjem so bile registrirane višine vrhov Cr (529 eV), Fe (598 eV), Ni (848 eV), O (510 eV) in Si (1619 eV) in zapisane glede na čas



Slika 1: Spektri XPS  $\text{Fe}_{2\text{p}}^{3/2}$ ,  $\text{Cr}_{2\text{p}}^{3/2}$ ,  $\text{Ni}_{2\text{p}}$ ,  $\text{O}_{1\text{s}}$ ,  $\text{C}_{1\text{s}}$  in  $\text{Si}_{2\text{p}}$ : a) "as received", b) 2 h, 300 V  $\text{Ar}^+$ , c) +30 min, 1kV,  $\text{Ar}^+$   
 Figure 1: XPS spectrum of  $\text{Fe}_{2\text{p}}^{3/2}$ ,  $\text{Cr}_{2\text{p}}^{3/2}$ ,  $\text{Ni}_{2\text{p}}$ ,  $\text{O}_{1\text{s}}$ ,  $\text{C}_{1\text{s}}$  and  $\text{Si}_{2\text{p}}$ : a) as received, b) 2 h 300 V  $\text{Ar}^+$ , c) +30 min, 1kV,  $\text{Ar}^+$

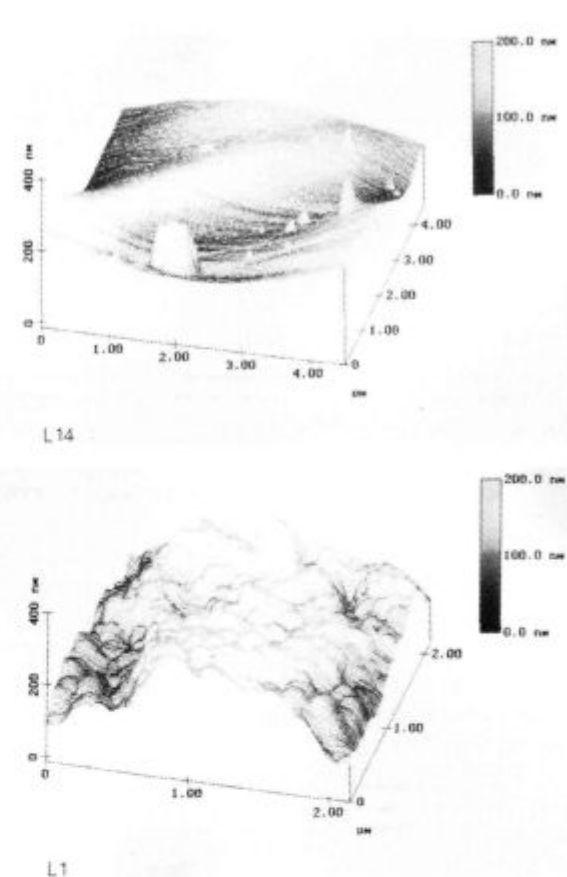


Slika 2: Profilna analiza površinske plasti litine L1 in L14  
 Figure 2: The profile analysis of the surface layer of casts L1 and L14

ionskega jedkanja. Intenzitete vrhov pri globinskem profilu so preračunane na koncentracijo atomskih %, glede na faktor občutljivosti na Augerjev prehod.

Augerjeva profilna analiza na vzorcu L1 pokaže, da je na površini, kakor tudi v globini, relativno veliko kisika, ki je na njej adsorbiran. Železa in niklja na površini ni, nahaja se samo krom. Porast kroma od površine proti notranjosti po 2 min ionskega jedkanja je verjetno navidezen zaradi odstranitve adsorbiranega kisika. Signala za železo in nikelj se z ionskim jedkanjem povečujeta in potrebno je več kot 10 min, da se vrednosti ustalijo. Glede na razmerje kisika in kroma lahko sklepamo, da je na površini kromov oksid, ki ima debelino nekaj atomskih plasti.

Pri vzorcu litine L14 se silicij koncentrirata na sami površini. Koncentracija kisika v notranjosti hitro pojema, in če upoštevamo dejstvo, da je gotovo nekaj kisika na površini v adsorbirani obliki, potem lahko sklepamo, da je razmerje Si proti O skoraj 1:1. Siliciju v globino sledi krom, za njim pa nikelj in železo. Plast, ki je nastala na litini L14, je zelo tanka in je na osnovi meritev globinskega profila debeline približno 3 nm.



Slika 3: Topografija litine L1 in L14, posneta z AFM  
 Figure 3: Topography of casts L1 and L14 made by AFM

### 2.3 Mikroskopija na atomsko silo (AFM)

Z mikroskopijo na atomsko silo merimo medatomske sile med konico nosilca in površino vzorca tudi na neprevodni oksidni plasti. Površine vzorcev litin L1 in L14 smo posneli z mikroskopijo na atomsko silo (slika 3). Površina litine L1 je povečana, saj je nastalo nešteto drobnih jamic, teh pa pri L14 praktično ni.

### 3 Sklep

Litina L14-FeCr26Ni30Si4, ki je legirana s 4% Si, je v primerjavi z litinami podobne sestave z nižjo vsebnostjo silicija korozjsko najodpornejša. V močno oksidacijskih medijih so podobne litine podvržene pojavu prepasivacije, prihaja do rušenja zaščitne plasti in do pojava jamičaste in interkristalne korozije, česar pa pri litini L14 nismo zasledili.

Pri vzorcu litine L1, ki ne vsebuje silicija, se na površini po dolgotrajni izpostavi močno oksidacijskim medijem nahaja kromov oksid  $\text{Cr}_2\text{O}_3$ , ki je sestavljen iz več atomskih plasti, kot pri vzorcu litine L14 in je bolj voluminozen in manj kompakten. Pod to plastjo sta železo in nikelj v elementarni obliki. Ugotovljamo, da je pri enakih razmerah izpostave površina plasti pri litini L14 sestavljena pretežno iz silicija, ki je nad tanko kom-

paktno plastjo iz kromovega oksida Cr<sub>2</sub>O<sub>3</sub>, verjetno debeline približno dve atomski plasti, in ne vsebuje veliko kisika, vezanega v obliki hidroksida in vode. Nikelj in železo v plasti tudi pri litini L14 nista prisotna.

Pri korozjskem procesu silicij ostaja na površini in omogoča izoblikovanje tanke, vendar kompaktne, dokaj homogene plasti Cr<sub>2</sub>O<sub>3</sub>. S tem silicij tvori bariero debele 2-3 nm, ki povečuje katodno prenapetost litine in vpliva na počasnejši korozjski proces.

#### 4 Literatura

<sup>1</sup>Metal Handbook - Vol.13: Corrosion, 9th Edition AMS, International, 1987

- <sup>2</sup>M. G. Fontana, Corrosion Engineering, Third Edition, 1987
- <sup>3</sup>D. Peckner, I. M. Bernstein, Handbook of Stainless Steels, 1977
- <sup>4</sup>L. Vehovar, Korozija kovin in korozjsko preskušanje, 1991
- <sup>5</sup>H. Kajimura, K. Ogawa, H. Nagano, Effect of  $\alpha/\gamma$  Phase Ratio and N Adition on the Corrosion Resistance of Si-bearing Duplex Stainless Steel in Nitric Acid, *ISIJ International*, 31, 1991, 2, 216-222
- <sup>6</sup>B. Godec, L. Vehovar, I. Zakrajšak, Korozjska obstojnost jeklene litine s povečano vsebnostjo Si, *Kovine, zlitine, tehnologije*, 29, 1995, 1-2, 154-156
- <sup>7</sup>D. Briggs, M. P. Seah, Practical Surface Analysis, Volume 1: Auger and X-ray Photoelectron Spectroscopy, 1990
- <sup>8</sup>A. Miyasaka, H. Ogawa, In Situ observation of a Stainless steel Surface in Aqueous Solutions using Scanning Tunneling Microscope, *Corrosion Science*, 31, 1990, 99-104
- <sup>9</sup>Th. Bertrams, A. Brodde, H. Hannemann, C. A. Ventrice, Jr., G. Wilhelm, Hnedermeyer, STM of Manipulated Structures: Characterization of Metal Oxide Films, *Applied Surface Science*, 75, 1994, 25-132